

FIG. 1

2/12

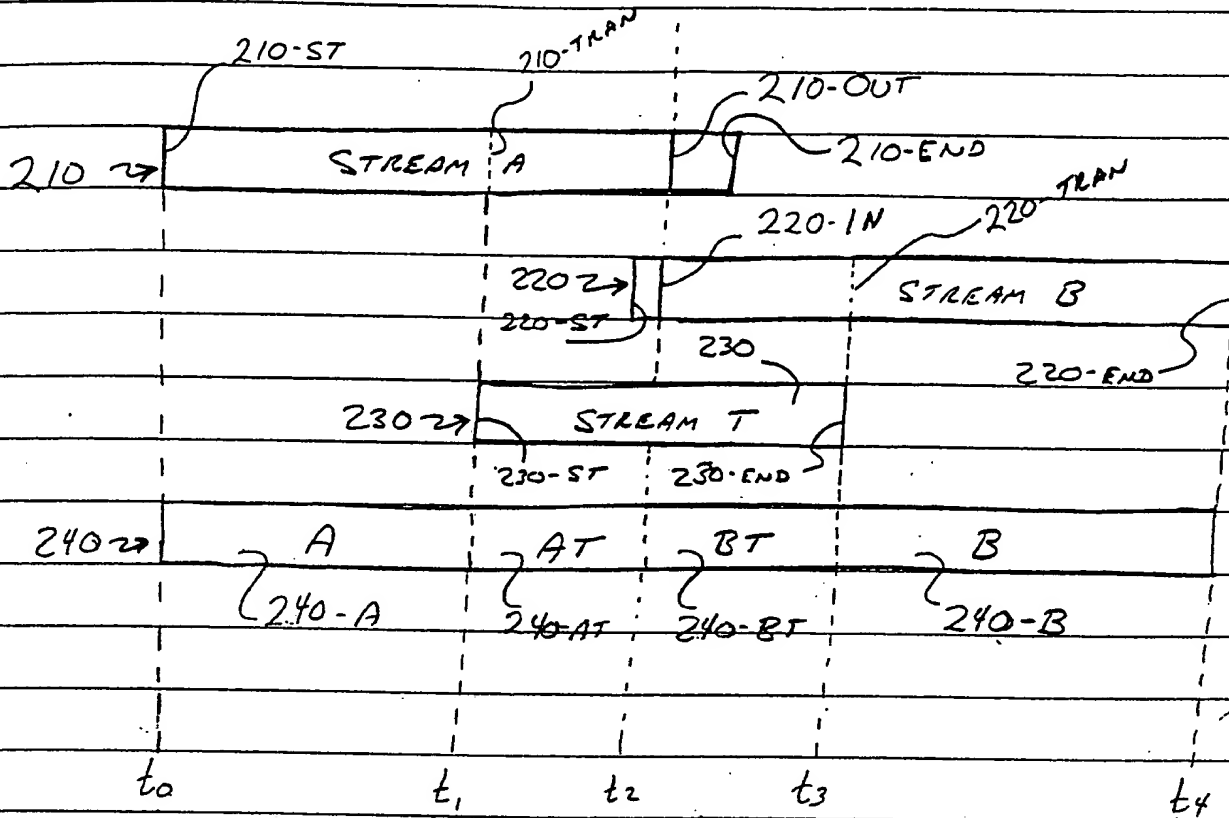


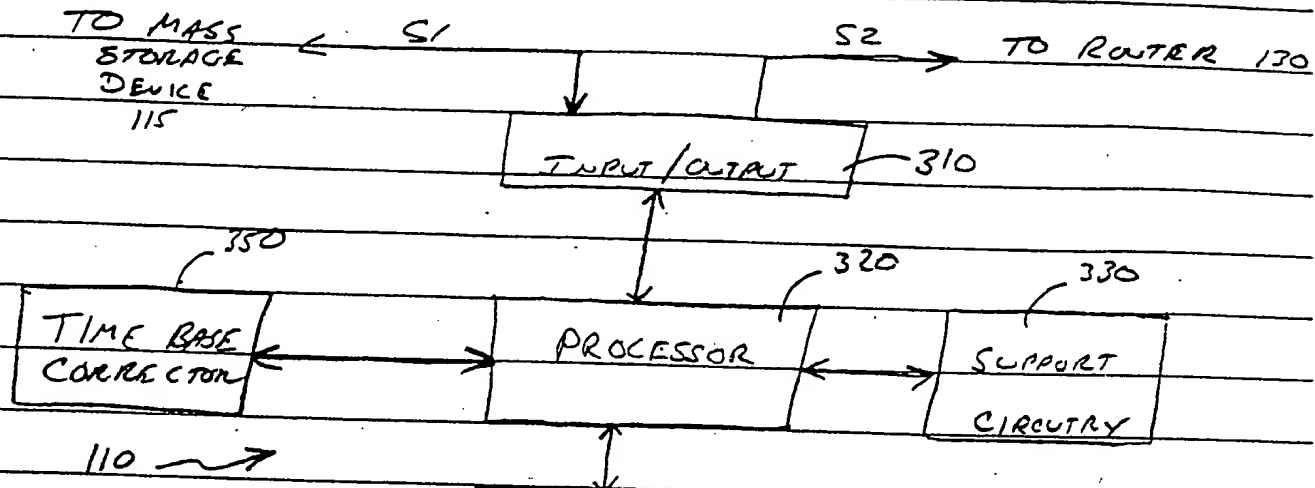
FIG. 2A

(SMpte TIME CODES)

STREAM A	00:00:00:00	< t <sub>2</sub>	00:00:02:13	N/A	N/A
STREAM B	N/A	N/A	00:00:00:23	> t <sub>2</sub>	00:00:00:00
RESULTANT	00:00:00:00	< t <sub>2</sub>	00:00:02:13	> t <sub>2</sub>	00:00:00:00
	t <sub>0</sub>	t <sub>1</sub>	t <sub>2</sub>	t <sub>3</sub>	t <sub>4</sub>

FIG. 2B

3/12



MEMORY 340

INDEX GENERATION FUNCTION 342

TRANSITION CLIP

GENERATION FUNCTION 344

INDEX LIBRARY 346

STREAM LIBRARY 348

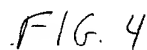
TRANSITION CLIP TIME

REStampING FUNCTION 345

IN-POINT/OUT-POINT ADAPTOR

GENERATION FUNCTION 349

FIG. 3



5/12

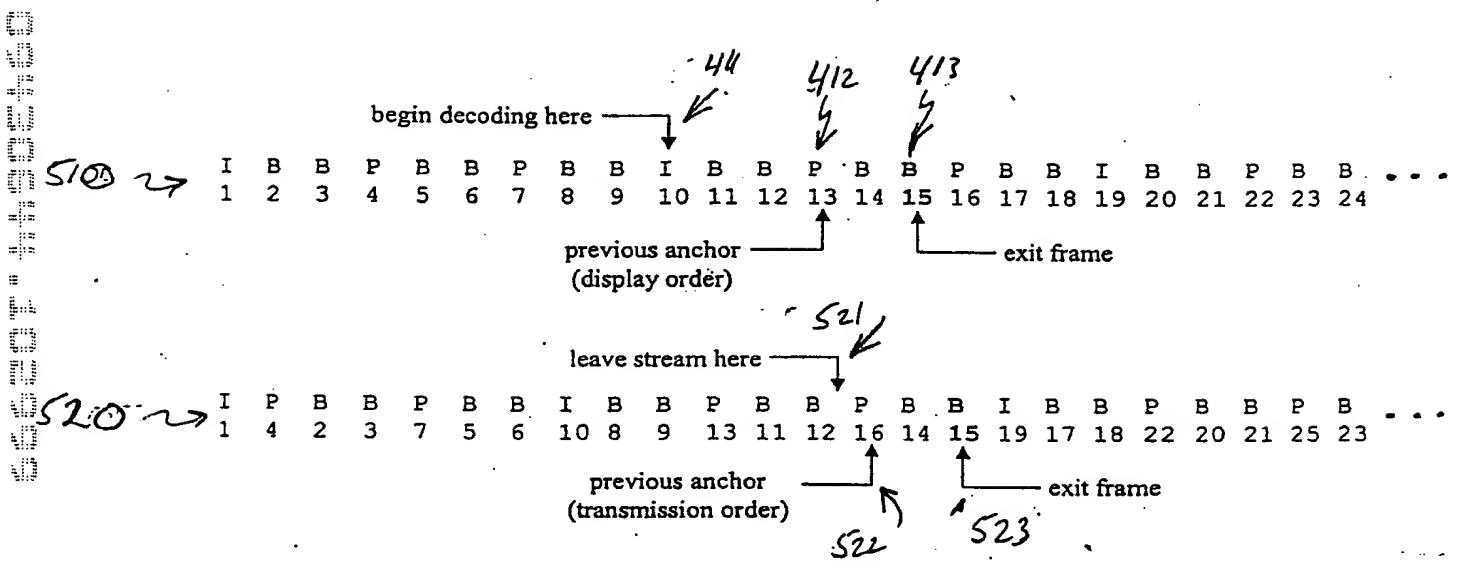


FIG. 5

6/12

611

613

begin decoding here

stop decoding here

610 → I B B P B B P B B I B B P B B P B B I B B P B B I B  
1 2 3 4 5 6 7 8 9 10 11 12 13 14 15 16 17 18 19 20 21 22 23 24 25 26

entry frame

612

entry frame

enter stream here

623

620 → I P B B P B B I B B P B B P B B I B B P B B I B B P  
1 4 2 3 7 5 6 10 8 9 13 11 12 16 14 15 19 17 18 22 20 21 25 23 24 28

next I frame  
(display order)

622

FIG. 6

7/12

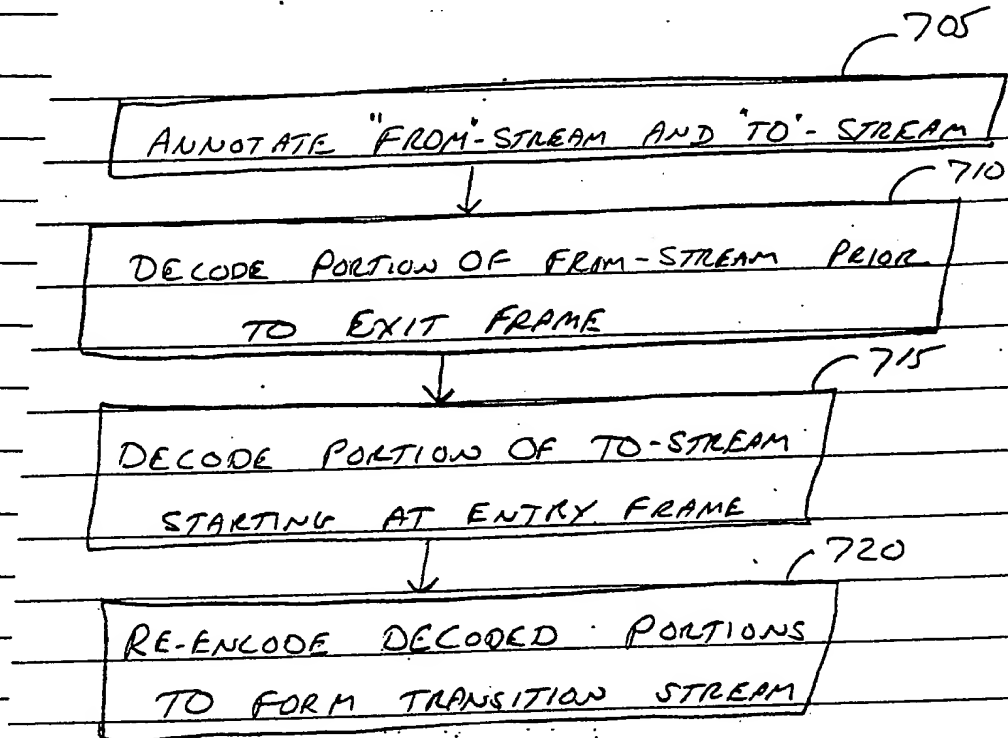


FIG. 7

8/12

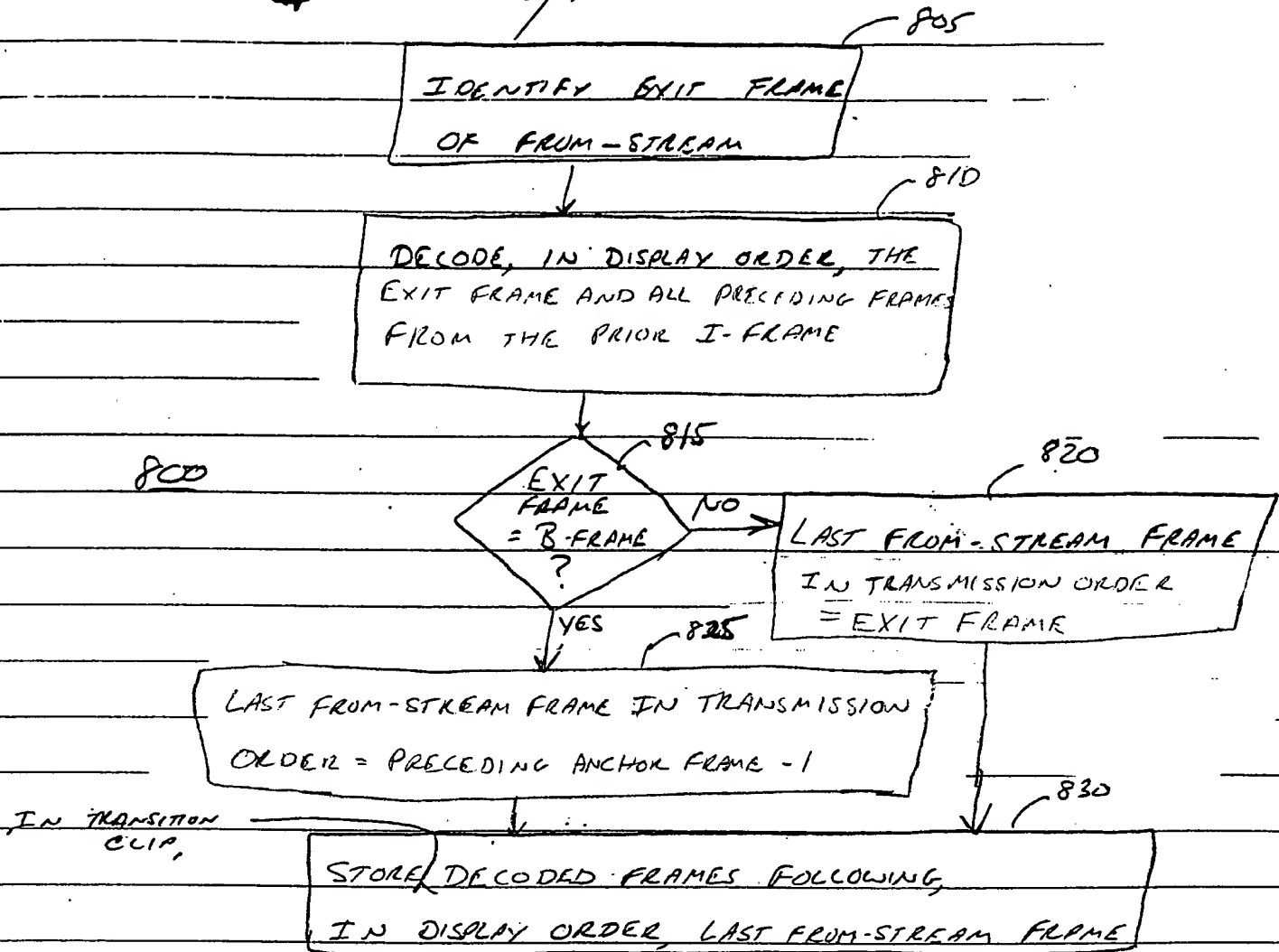


FIG. 8



9/12

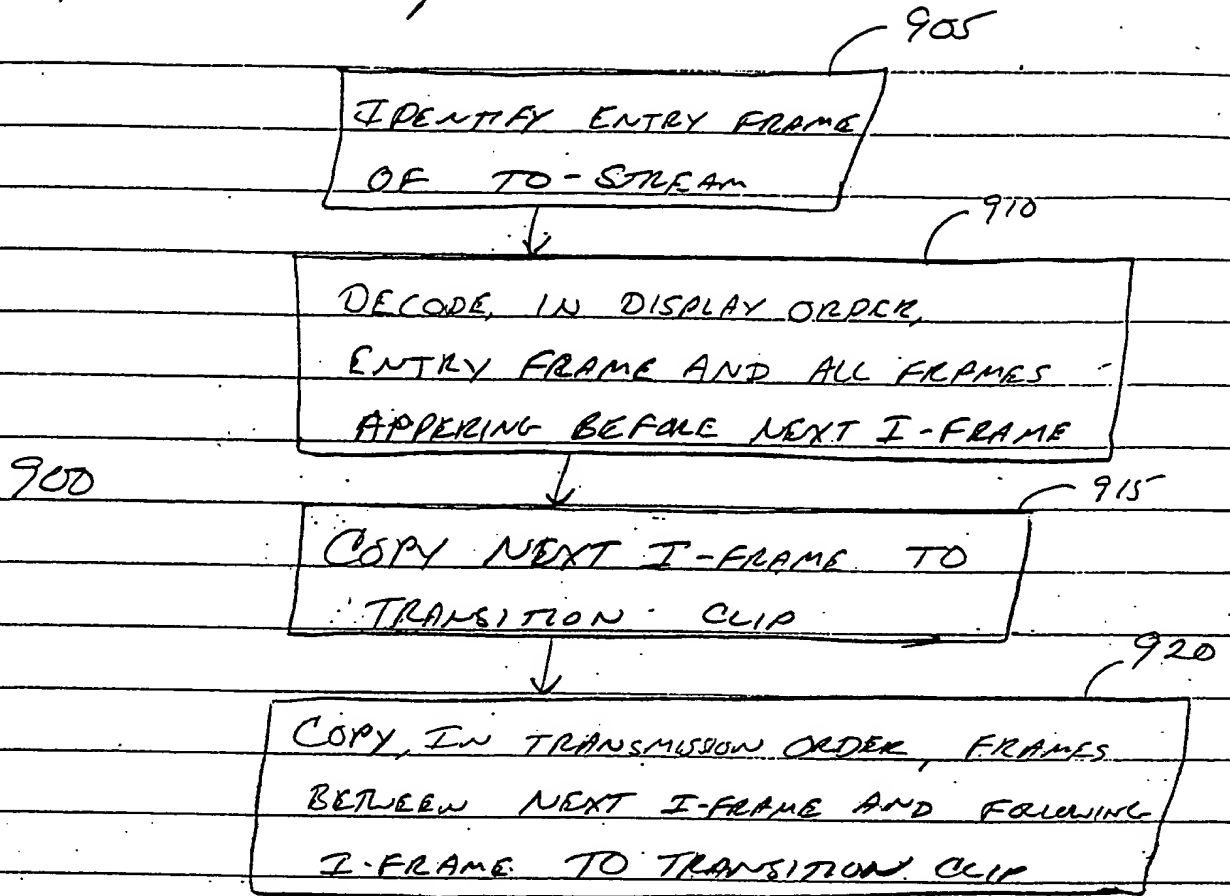


FIG. 9

10/12

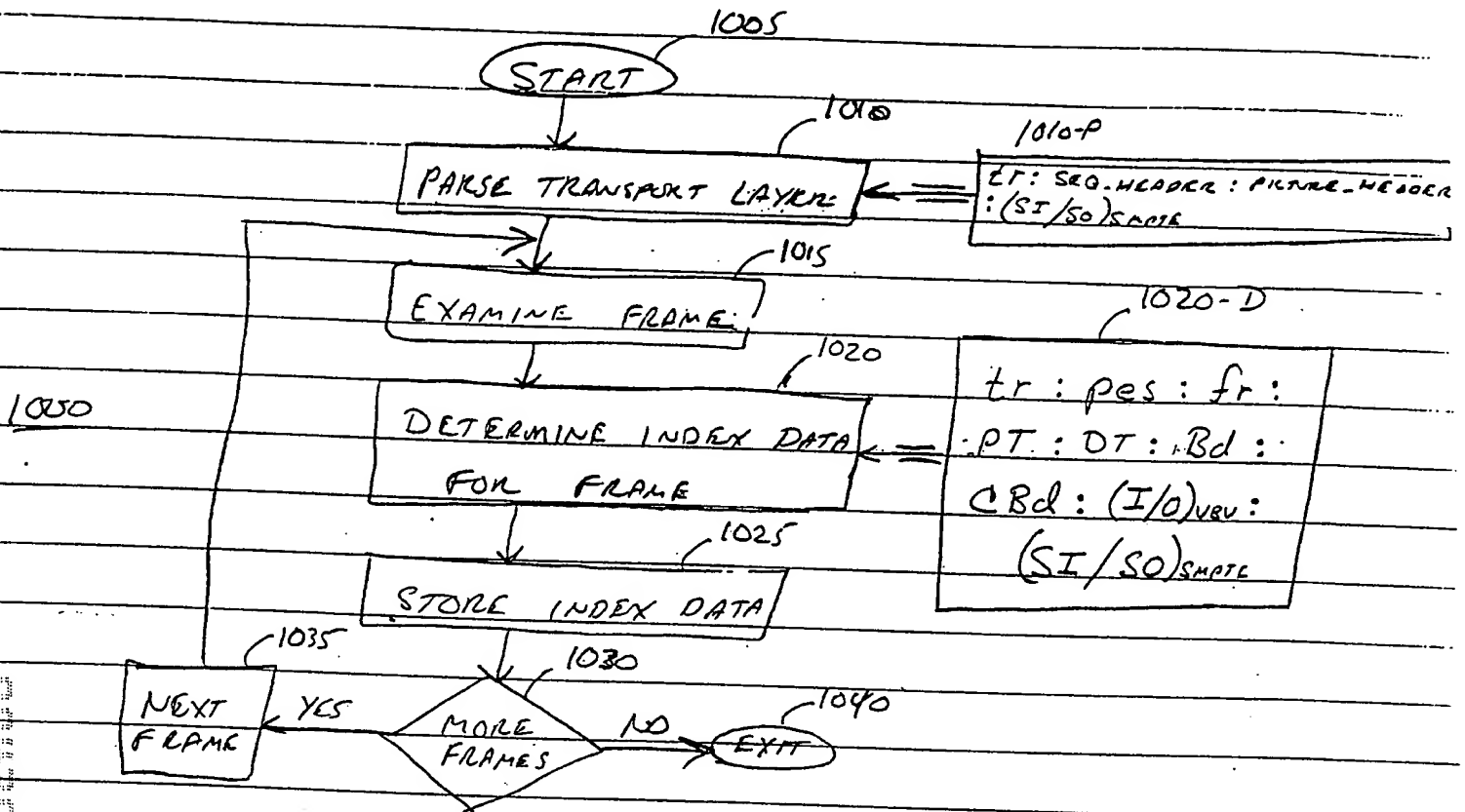


FIG. 10

11/12

1	s:	29	e:	87	fr:	01	PT:	25500	DT:	22500	Bd:	250ms	cBd:	0ms	I	O
2	s:	879	e:	1213	fr:	3P	PT:	34500	DT:	25500	Bd:	217ms	cBd:	217ms		
3	s:	1214	e:	1444	fr:	1B	PT:	28500	DT:	0	Bd:	225ms	cBd:	225ms		
4	s:	1445	e:	1770	fr:	2B	PT:	31500	DT:	0	Bd:	240ms	cBd:	240ms		O
5	s:	1771	e:	2355	fr:	6P	PT:	43500	DT:	34500	Bd:	248ms	cBd:	248ms		
6	s:	2356	e:	2871	fr:	4B	PT:	37500	DT:	0	Bd:	236ms	cBd:	236ms		
7	s:	2872	e:	3298	fr:	5B	PT:	40500	DT:	0	Bd:	229ms	cBd:	229ms		O
8	s:	3299	e:	3840	fr:	9P	PT:	52500	DT:	43500	Bd:	230ms	cBd:	230ms		
9	s:	3841	e:	4225	fr:	7B	PT:	46500	DT:	0	Bd:	221ms	cBd:	221ms		
10	s:	4226	e:	4602	fr:	8B	PT:	49500	DT:	0	Bd:	224ms	cBd:	224ms		O
11	s:	4603	e:	4942	fr:	12P	PT:	61500	DT:	52500	Bd:	228ms	cBd:	228ms		
12	s:	4943	e:	5310	fr:	10B	PT:	55500	DT:	0	Bd:	235ms	cBd:	235ms		
13	s:	5311	e:	5678	fr:	11B	PT:	58500	DT:	0	Bd:	240ms	cBd:	240ms		O
14	s:	5679	e:	6497	fr:	13I	PT:	64500	DT:	61500	Bd:	245ms	cBd:	245ms	I	O
15	s:	6498	e:	6685	fr:	16P	PT:	73500	DT:	64500	Bd:	215ms	cBd:	215ms		
16	s:	6686	e:	7014	fr:	14B	PT:	76500	DT:	0	Bd:	234ms	cBd:	234ms		
17	s:	7015	e:	7365	fr:	15B	PT:	70500	DT:	0	Bd:	241ms	cBd:	241ms		O
18	s:	7366	e:	7594	fr:	19P	PT:	82500	DT:	73500	Bd:	248ms	cBd:	248ms		
19	s:	7595	e:	8045	fr:	17B	PT:	76500	DT:	0	Bd:	263ms	cBd:	263ms		
20	s:	8046	e:	8540	fr:	18B	PT:	79500	DT:	0	Bd:	261ms	cBd:	261ms		O
21	s:	8541	e:	8839	fr:	22P	PT:	91500	DT:	82500	Bd:	256ms	cBd:	256ms		
22	s:	8840	e:	9347	fr:	20B	PT:	85500	DT:	0	Bd:	267ms	cBd:	267ms		
23	s:	9348	e:	9841	fr:	21B	PT:	88500	DT:	0	Bd:	260ms	cBd:	260ms		O
24	s:	9842	e:	10213	fr:	25P	PT:	100500	DT:	91500	Bd:	256ms	cBd:	256ms		
25	s:	10214	e:	10704	fr:	23B	PT:	94500	DT:	0	Bd:	260ms	cBd:	260ms		
26	s:	10705	e:	11196	fr:	24B	PT:	97500	DT:	0	Bd:	255ms	cBd:	255ms		O
27	s:	11197	e:	12165	fr:	26I	PT:	103500	DT:	100500	Bd:	250ms	cBd:	250ms	I	O
28	s:	12166	e:	12536	fr:	29P	PT:	112500	DT:	103500	Bd:	208ms	cBd:	208ms		
29	s:	12537	e:	12994	fr:	27B	PT:	106500	DT:	0	Bd:	213ms	cBd:	213ms		
30	s:	12995	e:	13408	fr:	28B	PT:	109500	DT:	0	Bd:	211ms	cBd:	211ms		O
31	s:	13409	e:	13750	fr:	32P	PT:	121500	DT:	112500	Bd:	212ms	cBd:	212ms		
32	s:	13751	e:	14158	fr:	30B	PT:	115500	DT:	0	Bd:	219ms	cBd:	219ms		
33	s:	14159	e:	14563	fr:	31B	PT:	118500	DT:	0	Bd:	221ms	cBd:	221ms		O
34	s:	14564	e:	14886	fr:	35P	PT:	130500	DT:	121500	Bd:	222ms	cBd:	222ms		
35	s:	14887	e:	15290	fr:	33B	PT:	124500	DT:	0	Bd:	231ms	cBd:	231ms		
36	s:	15291	e:	15696	fr:	34B	PT:	127500	DT:	0	Bd:	233ms	cBd:	233ms		O
37	s:	15697	e:	15999	fr:	38P	PT:	139500	DT:	130500	Bd:	234ms	cBd:	234ms		
38	s:	16000	e:	16403	fr:	36B	PT:	133500	DT:	0	Bd:	244ms	cBd:	244ms		
39	s:	16404	e:	16802	fr:	37B	PT:	136500	DT:	0	Bd:	246ms	cBd:	246ms		O
40	s:	16803	e:	17627	fr:	39I	PT:	142500	DT:	139500	Bd:	249ms	cBd:	249ms	I	O
41	s:	17628	e:	17916	fr:	42P	PT:	151500	DT:	142500	Bd:	218ms	cBd:	218ms		
42	s:	17917	e:	18326	fr:	40B	PT:	145500	DT:	0	Bd:	229ms	cBd:	229ms		
43	s:	18327	e:	18743	fr:	41B	PT:	148500	DT:	0	Bd:	230ms	cBd:	230ms		O
44	s:	18744	e:	19066	fr:	45P	PT:	160500	DT:	151500	Bd:	231ms	cBd:	231ms		
45	s:	19067	e:	19492	fr:	43B	PT:	154500	DT:	0	Bd:	240ms	cBd:	240ms		
46	s:	19493	e:	19925	fr:	44B	PT:	157500	DT:	0	Bd:	240ms	cBd:	240ms		O
47	s:	19926	e:	20246	fr:	48P	PT:	169500	DT:	160500	Bd:	240ms	cBd:	240ms		
48	s:	20247	e:	20683	fr:	46B	PT:	163500	DT:	0	Bd:	248ms	cBd:	248ms		
49	s:	20684	e:	21122	fr:	47B	PT:	166500	DT:	0	Bd:	248ms	cBd:	248ms		O
50	s:	21123	e:	21454	fr:	51P	PT:	178500	DT:	169500	Bd:	247ms	cBd:	247ms		
51	s:	21455	e:	21895	fr:	49B	PT:	172500	DT:	0	Bd:	255ms	cBd:	255ms		
52	s:	21896	e:	22373	fr:	50B	PT:	175500	DT:	0	Bd:	254ms	cBd:	254ms		MO
53	s:	22375	e:	23078	fr:	52I	PT:	181500	DT:	178500	Bd:	250ms	cBd:	250ms	I	O
54	s:	23079	e:	23416	fr:	55P	PT:	190500	DT:	181500	Bd:	229ms	cBd:	229ms		

← 1100

1110 1120 1130 1140 1150 1160 1170 1180

FIG. 11

12/12

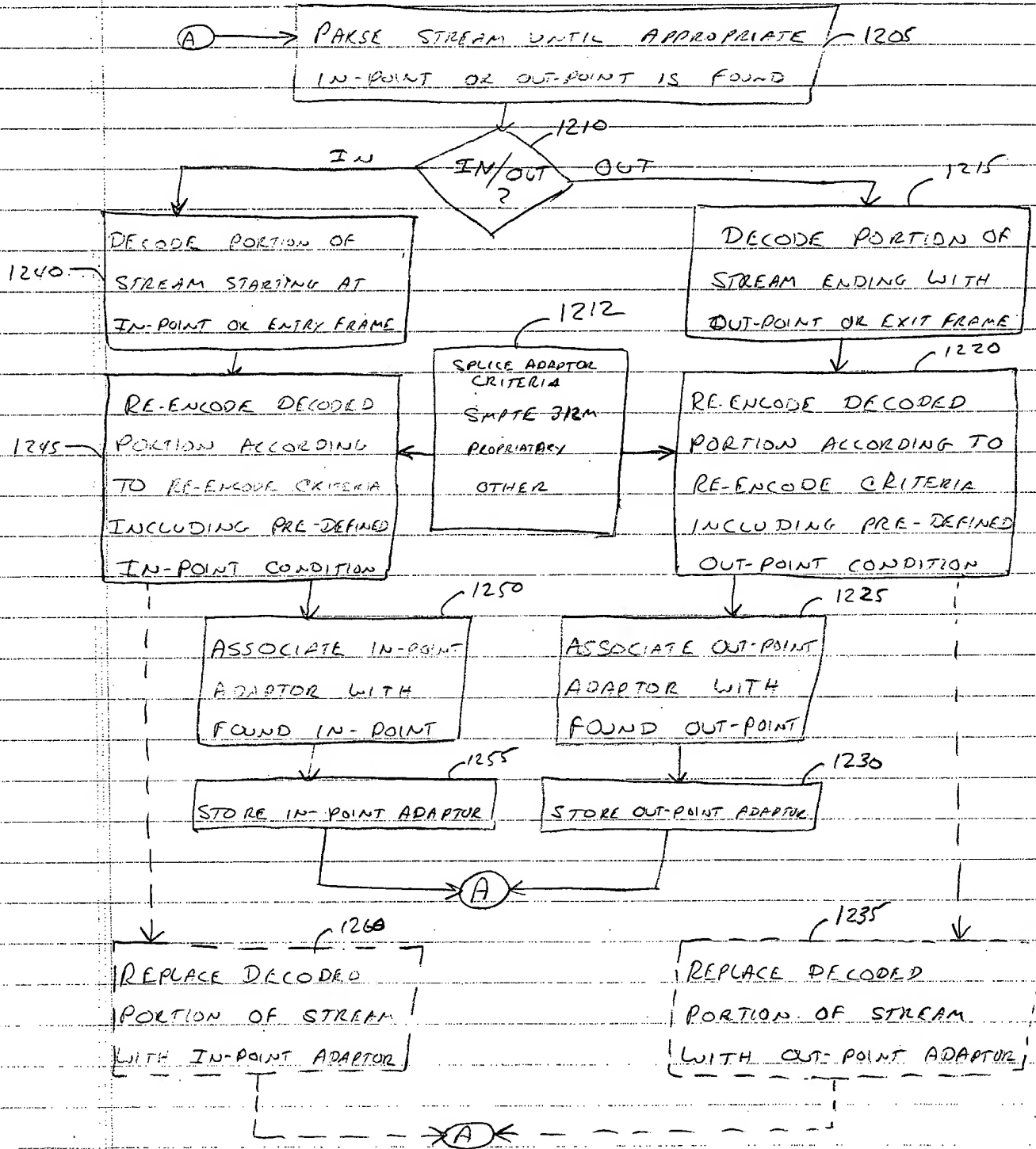


FIG. 12